

第二屆和平利用原子能國際會議文獻

鉢 石 地 質

中国科学院原子核科学委员会編輯委員會編
科 學 出 版 社 出 版

后 記

1958年第二屆和平利用原子能國際會議文獻，由中國科學院原子核科學委員會編輯委員會組織力量選譯了一部分參考價值較大的文章，交由我社陸續出版。

這一冊是“鈾礦地質”方面的最后一集。本冊的校訂和編輯工作完全由中國科學院原子核科學委員會編輯委員會負責，限于時間，我社未再進行加工。譯文如有欠妥之處，希讀者指正。

科學出版社

1962年9月25日

鈾 矿 地 質

中國科學院原子核科學委員會編輯委員會編

*

科 學 出 版 社 出 版 (北京朝陽門大街 117 号)

北京市書刊出版業營業許可證出字第 061 号

中國科學院印刷廠印刷 新華書店總經售

*

1963年6月第一版 书号：2739 字数：765,000

1963年6月第一次印刷 开本：787×1092 1/16

(京) 0001—2,650 印张：32 1/2

定价：4.40 元

目 录

矿床地質及評價

- P/770 阿拉斯加州罗斯-亚当斯鉈釔矿的地質学..... E. M. 麦克威特 (1)
P/1508 格陵兰西南尤利阿訥霍普地区伊利莫塞克一带的含鉈霞石正长岩及与其
有关的岩石..... J. 邦达姆, H. 索林逊 (10)
P/178 瑞典中部鉄矿中鉈的矿化作用..... 馬尔庭松, 席林 (18)
P/1722 在巴拉頓湖沿岸山前丘陵区鉈迁移的一个特殊的情形.....
..... B. 楊斯基, J. 基斯, S. 伦吉尔, D. 斯济, K. 威拉 (23)
P/1240 法兰西联邦鉈矿和釔矿勘探的現狀..... A. 里諾貝爾, A. 根洛夫 (29)
P/1241 法国脉状鉈矿床地質..... J. A. 沙爾錫, H. 卡拉, A. 波貢, H. 杜塞爾 (43)
P/2421 阿尔卑斯上古生代岩石中的含鉈建造..... F. 依波利托 (66)
P/1904 美国鉈資源的地質評價..... A. P. 巴特勒 (77)
P/221 加拿大放射性矿物的矿床类型及矿石储量.....
..... J. W. 格里菲特, A. H. 兰戈, S. C. 魯宾逊, S. M. 罗斯柯叶, H. R. 斯捷希 (86)
P/1663 印度沿海地带海岸砂矿的勘探和評價.....
..... V. 馬哈捷瓦恩, G. R. 納拉雅恩达斯, N. 納加拉德查拉奧 (93)
P/1359 日本有希望的鉈矿床的勘探結果 武藤佐藤 (98)

矿物学和矿床的成因

- P/2019 描述鉈矿物学的現代成就..... C. 弗朗德尔, A. D. 威克斯 (108)
P/2060 苏联关于鉈矿物的新資料..... Ц. Л. 阿姆巴楚米揚, B. A. 波利卡尔波娃 (121)
P/1932 鉈矿地質学中尚未解决的問題及新方向的概述..... D. L. 艾維爾哈特 (157)
P/2492 热液鉈矿床矿化分布的一般規律及其基本的构造类型
..... И. П. 庫什納列夫,
..... Л. И. 魯金, Б. Л. 雷巴罗夫, Е. П. 索紐什金, Л. В. 赫罗什洛夫 (164)
P/1933 区域普查鉈矿化的标志 杰克·克拉奇曼 (175)
P/2346 結晶岩中鉈的迁移以及这种現象与某些矿床成因的可能联系
..... M. 魯保, R. 科潘 (182)
P/1934 鉈矿床与导矿构造、围岩蝕变及矿化带的关系.....
..... J. W. 格比尔曼, W. H. 波义耳 (186)
P/1912 在某些鉈矿工业区内砂岩型鉈矿床和地下水之間的相互联系
..... W. C. 烏德曼 (201)
P/774 鉈矿床与天然气、石油构造的关系..... R. T. 罗素尔 (210)
P/1931 与美国西部重要鉈矿床有关的陆相沉积岩岩相..... W. S. 盖茨, P. H. 多德 (222)

- P/1721 麦克萨克山铀矿石富集的成因及其沉积岩的性质… A. 巴雷巴斯, J. 克斯 (234)
P/2082 关于铀在煤中存在的形式问题……… S. A. 纳科拉索娃 (243)
P/2059 沉积岩中铀聚集的吸收作用 …… E. B. 罗日科娃, E. Г. 拉祖姆纳娅, M. B. 谢列勃里亚科娃, O. B. 谢尔巴克 (255)
P/2067 铀的热液迁移和沉淀条件的实验研究……… P. П. 拉法里斯基 (271)

地球化学勘探

- P/1935 踏勘铀的几种地球化学方法 …… C. T. 伊尔斯赖, C. W. 比尔斯, J. W. 波罗克 (288)
P/1357 日本铀矿床的地球化学普查………木村, 滕原, 佐渡, 大桥 (294)
P/1244 地球物理与地球化学方法在寻找铀矿方面的应用 …… A. M. 甘格诺夫, C. R. 可林, A. 格林姆贝尔特, H. 桑塞罗莫 (307)
P/298 天然水中铀的野外测定法……… G. H. 斯米思, T. R. D. 强德勒 (318)
P/2499 地下水中铀分布的某些规律性 …… A. И. 盖尔曼诺夫,
C. Г. 巴杜林, Г. А. 沃尔科夫, A. K. 利西秦, B. C. 谢列勃连尼科夫 (325)
P/1731 腐植质在铀的地球化学富集中的意义……… A. 萨莱 (345)
P/779 腐植酸在铀的地球化学中的作用……… D. 万, V. E. 斯温逊, K. G. 柏尔 (352)
P/780 含油岩石中有机物内铀的地球化学……… A. P. 皮尔士, J. W. 米顿, P. R. 巴列提 (358)
P/2066 金属矿床氧化带中铀的地球化学的实验研究……… B. B. 谢尔宾娜 (366)

同位素的组分和年龄的测定

- P/773 非放射性矿物中的放射成因铅是寻找铀矿和钍矿的标志……… R. S. 坎隆, L. R. 施蒂夫, T. W. 史德恩 (371)
P/776 同位素分析在铀矿地质方面的应用……… H. H. 阿德勒 (383)
P/772 放射性不平衡的研究有助于了解铀及其衰变产物的自然迁移……… 约翰 N. 罗学悌 (390)
P/250 矿物中钍与铀的极度比率的测定关于测定钍的一种放射化学方法……… H. R. 方耕田, W. 布舍尔, F. G. 豪特曼斯 (398)
P/412 钍的地球化学及用 Be^{10} 法确定矿物年龄……… J. R. 米里耳, M. 洪达, J. R. 阿尔諾伊德 (403)

放射性勘探方法及仪器

- P/2505 放射性普查和勘探的几个理论和方法问题……… A. Г. 格拉马科夫, H. B. 克瓦什涅夫斯卡娅, A. И. 尼科诺夫,
M. M. 索科洛夫, H. H. 索切瓦诺夫, C. A. 苏普彼, C. П. 塔费耶夫 (409)
P/2245 放射性异常分类中的 γ -射气方法……… Ю. П. 布拉谢维奇 (423)
P/1909 地质上用放射性探测设备的发展……… W. W. 瓦恩, V. C. 罗顿, E. E. 威尔逊, R. H. 巴乃特 (431)

- P/1920 鈾矿勘探中的 γ 測井技术..... R. F. 特罗尔拉德, P. H. 多德 (438)
P/1936 勘探鈾和評价鈾矿床时的綜合測井設備
..... R. D. 凱西, J. H. 斯各特, E. M. 維斯柯特 (451)
P/299 放射性原料普查、分析和开采仪器的最新成就.....
..... H. 毕斯伯, D. 威廉姆斯, F. H. 海尔 (459)
P/1667 几种利用无线电分析岩样和探测放射性矿物的仪器的試制
..... A. S. 巴特那茄 (472)

其 他

- P/42 金属矿物的鉴定法..... S. H. U. 波韦, K. 泰勒 (479)
P/1701 利用放射性方法定量分析鉉产品和鉉矿中的鉉
..... R. 高萊, J. 过迈尔, L. 味南 (500)
P/2357 用放射性示踪剂测定沿岸砂粒移动情况的試驗
..... D. L. 茵明, T. K. 彻別伦 (509)

阿拉斯加州罗斯-亚当斯鈾釷矿的地質学*

E. M. 麥克威特**

一、引　　言

罗斯-亚当斯(Ross-Adams)矿床是一个特殊类型的鈾釷矿床，这个矿床大致成一微傾斜的紡錘体状，其中的主要矿石矿物为含鈾硅酸釷矿(uranothorite)和含鈾方釷石(uranoan thorianite)。它是阿拉斯加州唯一的够工业品位的鈾矿源地。

矿区位于阿拉斯加州威尔斯亲王島(Prince of Wales Island)的南部，距克吉康市(Ketchikan)西南約35哩(图1)。在博克山(Bokan Mountain)950呎高处。当地气候特点是全年比較温和，間有大雨，降雨量达170吋。

二、发现的經過及儲量

罗斯-亚当斯矿床是克吉康探矿組的两位成員D. 罗斯先生和他的夫人发现的，他們在1955年5月18日的那一天，当使用盖格計数仪进行航空放射性測量找矿时，发现矿区里存在着放射性异常，这个发现隨即为地面觀察和研究工作所証实。1955年夏，克莱梅鉅矿公司取得了該事业的管理权并立即开始金刚石鉆探；1956年夏秋扩大了鉆探規模。1957年7月开始采矿，共开采了約15,000吨鈾矿石，矿石平均含 U_3O_8 达0.80%。矿区內开辟了一个露天采掘場，此采掘場大約有370呎长，25—75呎寬，25呎深(图1)。

三、地　　質

1. 地　質　構　造

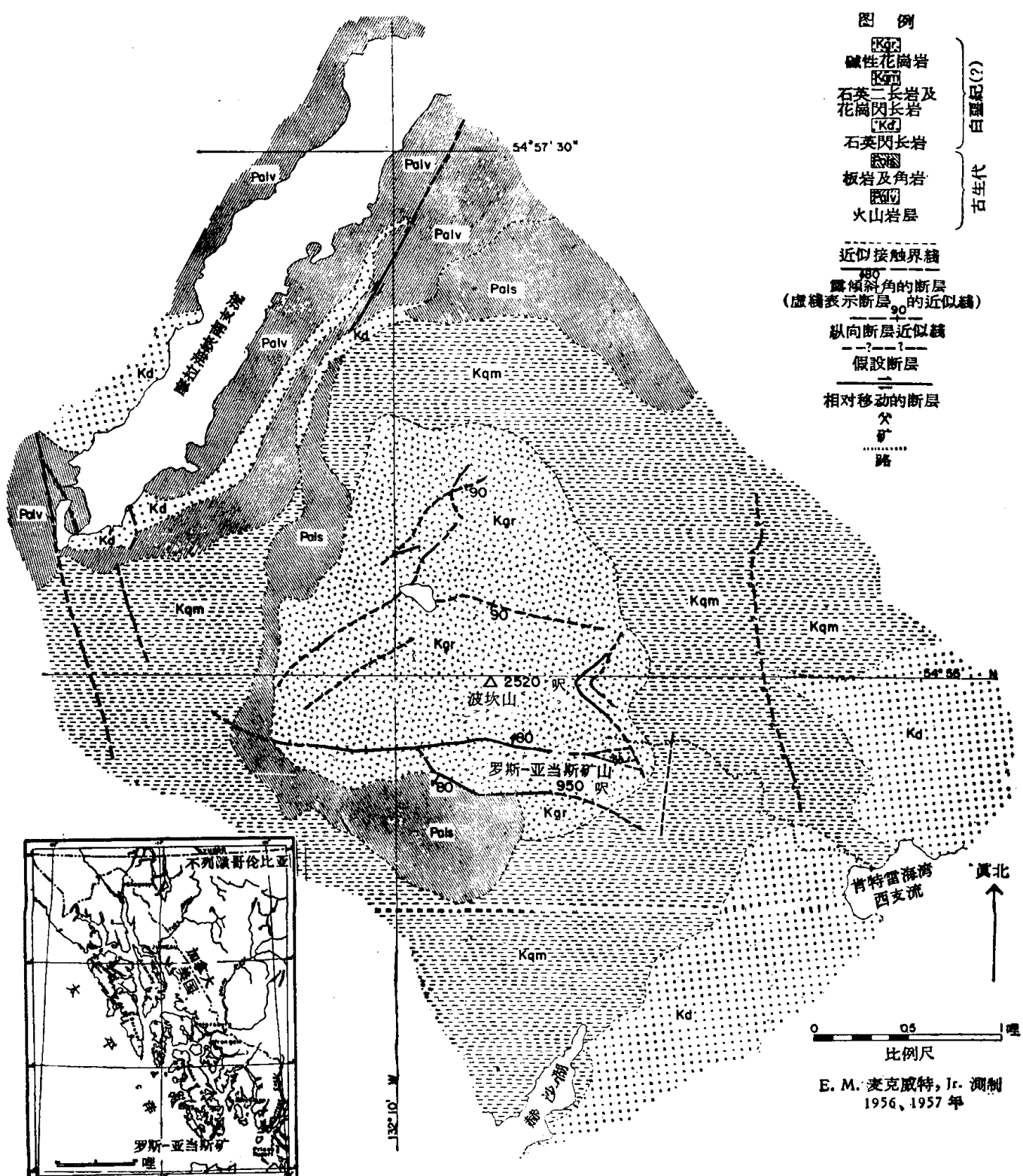
罗斯-亚当斯鈾釷矿位于一小型硷性花崗岩干或岩瘤內，此矿床距离花崗岩的东南边缘1000呎(图2)。岩干周围主要由中性深成岩及变質沉积岩和火山岩所組成，深成岩被認為是与海岸山脉的岩基有关。

2. 岩　　石

区内最古老的岩石是变質火山岩(palv)，它完好地出露于摩拉海峽(Moira Sound)的南支流的附近。布丁頓(Buddington)和查平(Chapin)^[1]曾确定这些岩石的时代为泥盆紀。其顏色由浅灰至深灰，主要代表一种业已片理化了的火山堆积物。它們一般呈斑状，含有长1—4毫米的斜长石斑晶，其基質由長約0.1毫米的矿物顆粒所組成。基質中的矿物通常轉变为綠泥石、綠帘石和泥質矿物。这些岩石主要为中性成分，介于石英二長安山岩与

* Geology of the Ross-Adams Uranium-Thorium Deposit, Alaska (第2卷, 第770号报告, 美国)。

** E. M. Mackevett, Jr. (美国加利福尼亞, 帕爾克, 地質調查局)。



示有罗斯-亚当斯矿区位置
东南阿拉斯加索引图

图 1 罗斯-亚当斯矿区附近地质简图

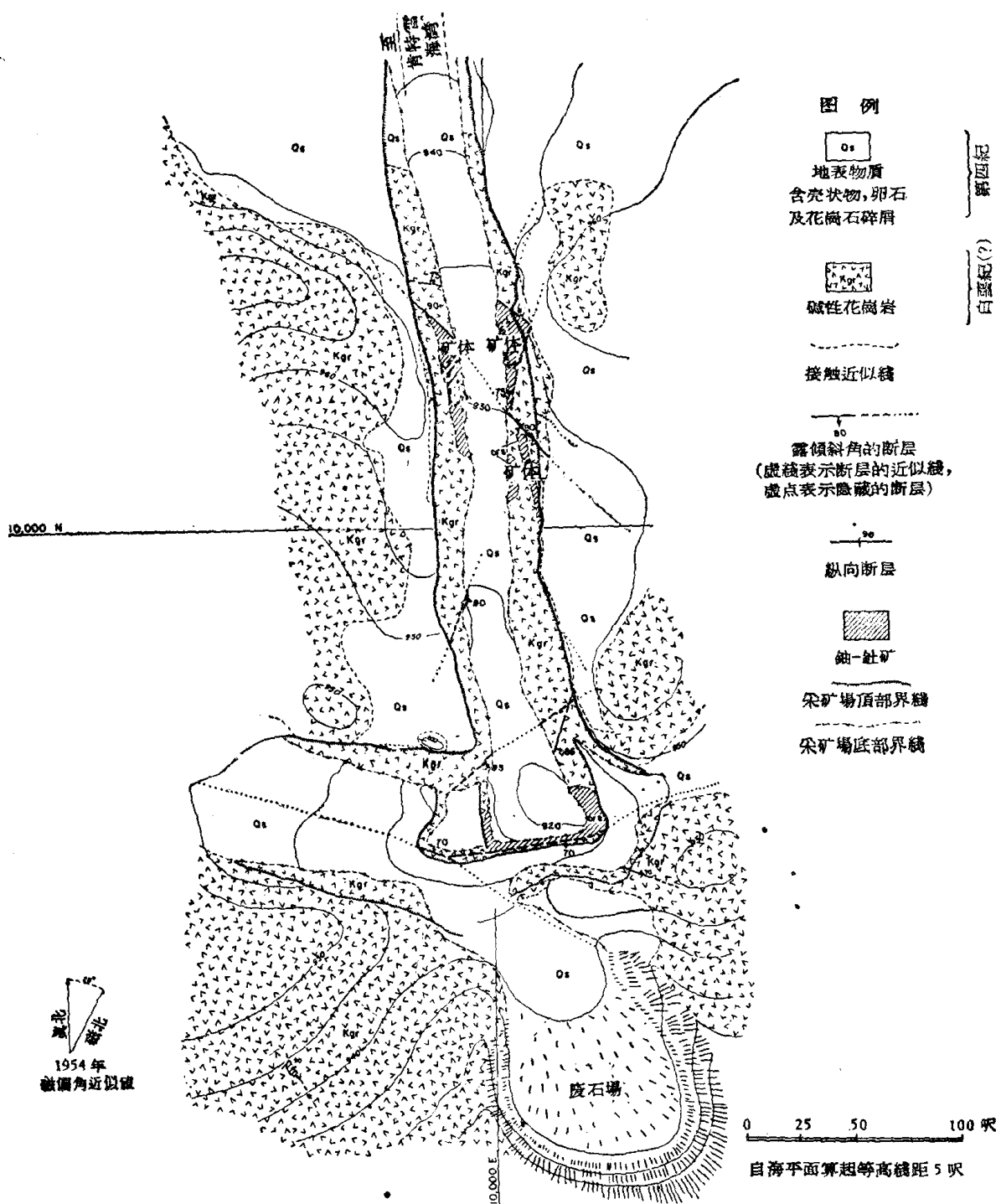


图 2 罗斯-亚当斯露天采矿场地质图

安山岩之間。

大部分由黑色頁岩和角岩所組成的另一古生代岩系(pals)在地表上大致呈弧形分布；有些地方，岩石中含有空晶石或者石墨。

一組成分不均的閃長岩系(kd)可能是這一地区的最老的白堊紀(?)基底岩石。这种岩石广泛出露于肯特雷克海湾(Kendrick Bay)的西支流附近，在其他各处則較少見。这些岩石主要是由顆粒粗細不等的角閃石英閃長岩、角閃閃長岩和閃岩所組成，一般已蝕变为

綠泥石、綠帘石、斜勳帘石、方解石和粘土矿物等。

本区另一較新的岩石 (kqm) 是占有主要位置的、由已蝕变的中粒石英二长岩和花崗閃长岩所組成的基底岩石，它們一般含有低于 5% 的暗色矿物，主要是黑云母。这些岩石的突出部分常切割閃长岩系。

有些地方，有长达 500 呎的細晶岩和白崗岩岩体，穿插于石英二长岩和硷性花崗岩之間。

除岩牆外，最新的侵入岩为硷性花崗岩 (kgr)，其时代大致属白堊紀晚期或者是第三紀。几乎所有这个地区的鈾鉉矿床都产在硷性花崗岩之内或其附近，因而可認為鈾鉉矿床和它有成因上的联系。硷性花崗岩形成一小型岩干或岩瘤，面積約 3 平方哩，而以布克恩山 (Bokan Mountain) 附近为其中心。岩石从細粒至粗粒，具有各种不同的結構特征，包括半自形粒状結構、斑状結構、不等粒結構和破碎結構等。硷性花崗岩的主要矿物为石英和鉀长石。鈉长石 (一般是 An_4) 仅占 5—15%；錐輝石和鈉閃石各約占硷性花崗岩的 1—12%。副矿物以鋯英石为主，含有少量的鈾矽酸鉉矿、黃鐵矿、螢石和磁鐵矿等。这些副矿物在花崗岩內总共占花崗岩的含量不到 1%。从岩石結構方面的多样性及其組成物——石英和鉀长石的两期形成的事實来看，这种花崗岩显然具有复杂的形成历史。較晚形成的石英，有时橫切或者嵌入早期的石英中；鈉冰长石有时則嵌入和交代带有格子双晶的鉀长石中。硷性花崗岩中含有大量的稀有元素，如鈾、鉉、釔、鑭、銣和銫以及其他稀

表 1 布克恩山附近的 7 个硷性花崗岩样品的半定量光譜分析及含鈾分析的結果¹⁾

(表中元素的次序——10, 3, 1, 0.3, 0.1, 0.03, 0.01, 0.003, 0.001——按样

品中含量的近似百分比排列)

样品 No.	百 分 比 eU	U	>10	10	3	1	0.3	0.1	0.03	0.01	0.003	0.001
1	0.004	0.0024	Si	Al	Fe, Na, K	Zr	Ti, Ce	Ca, Mn, La	Ga, Nb, Nd, Sn	Mg, Ba, Cr, Cu, Ni, Y, Yb, U, Th	Pb, Sc	
159	0.005	0.0038	Si	Al	Fe, Na, K	Zr	Ti	Ca, Mn, Ba, Ce	Mg, La, Nb, Y	Cr, Ga, Ni, Sn, Yb, U, Th	Be, Cu, Pb, Sc, Sr	
168	0.005	0.0017	Si	Al	Fe, Na, K		Ti	Ca, Mn, Ce, Zr	Mg, Ga, La, Nb, Y, Zn	Ba, Cr, Sn, Th	Cu, Ni, Pb, Yb, U	
219	0.005	0.003	Si	Al	Fe, Na, K	Ce	Ca, Ti, Zr	Mn, La, Nb, Nd, Y	Mg, Ba, Cu, Dy, Er, Pb, Zn	Be, Ga, Ni, Sn, Sr, Yb, U	Cr, Th	
225	0.002	0.002	Si		Al, Fe, Na	K	Zr	Ca, Ti, Mn		Nb, Ni, Y, U	Ba, Cr, Cu, Ga, Yb	
233	0.020	0.005	Si	Al	Fe, Na, K	Ca	Ti, Ce, Th, Y	Mn, La, Nb, Nd, Zr, U	Mg, Ba, Dy, Er, Sr, Yb	Pb, Sn, Zn	Be, Cr, Cu; Ga, Ni	
234	0.009	0.008	Si	Al	Fe, Na, K		Ti, Ce, Zr	Mn, Y	Ca, Ba, La, Nb, Nd, U	Mg, Cu, Ni, Yb	Cr, Ga, Pb, Sr, Th	

1) 光譜分析由美国地質調查局的約瑟夫·哈夫蒂所作。放射性和化学分析由美国地質勘探局的 B. A. 麦考尔，罗斯福·莫尔，艾爾瑪·堪貝爾与約瑟夫·布金斯基所作。

土元素。

表 1 为布克恩山附近的 7 个矽性花岗岩样品的半定量光谱分析和铀的放射性测定以及化学测定的结果。

区内，特别是在本区闪长岩内，有很多岩脉；它们主要为细粒状的中性至基性火山岩。这些岩脉显然是在几个不同的时期侵入的，但其精确的年代关系尚不清楚。多数伟晶岩脉和细晶岩脉都是矽性花岗岩的晚期派生物；它们主要产于矽性花岗岩内或其相邻的岩石中，成为小的不规则透镜体，通常不到 200 呎长和 2 呎宽，并通常含有许多可作为矽性花岗岩所具有的特征的稀有元素。

3. 构造

区内岩石为很多裂隙和断层所切割，图 2 仅表示了最大的断层，它的倾角很陡，主要有两组，一组走向近于东西，一组走向近于南北。少数断层以具有厚约 100 呎的角砾岩带为其特征；但是多数断裂是 2—3 呎的铁染狭窄带。

4. 矿床

罗斯-亚当斯矿床无论在矿物成分上、或者在形态上以及与矽性花岗岩的成因关系上都代表着一种罕有的铀矿床。主要矿石矿物为铀钍矿石和含铀方钍石。由于矿体的组成矿物中含有赤铁矿，故呈红褐色，与周围几乎全是白色的矽性花岗岩有显著的区别。矿体形状象纺锤状，向北延伸，地面露头长达 180 呎。它的平均宽度为 40 呎，最大深度约 50 呎（图 3）。另一矿体的长度，经金刚石钻探结果证明，达 350 呎；而矿体向深部延伸的深

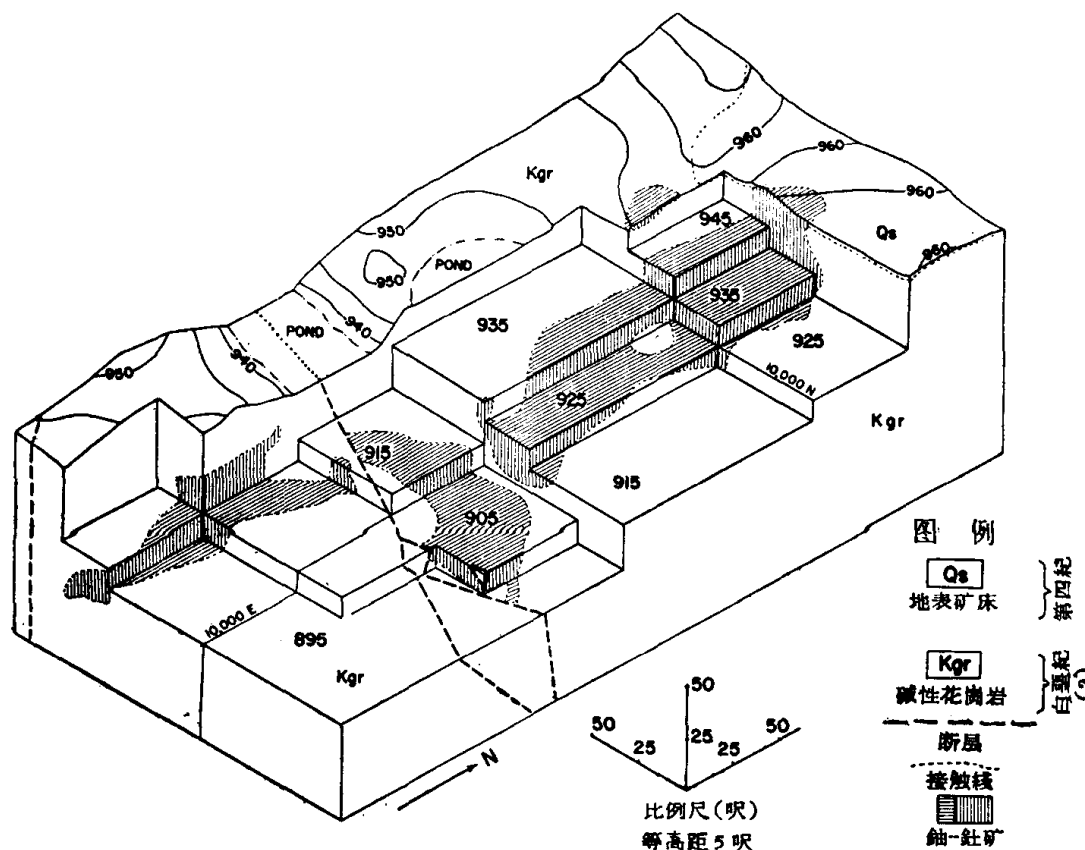


图 3 罗斯-亚当斯矿床等轴状立体图

度是从鉆孔的資料和后来的采掘工作推測出来的。

在露天采矿場的南部,出露一个陡傾斜的断层,其走向为北70°西,它切割另一个走向为北80°东的陡傾斜断层(图2)。两个断层都切割了矿体,致使矿体南部向下錯动,其断距未能确定。但是有些地方破碎的和蝕变了的安山岩(?)沿断层出露。在这些断层以南,矿体仅有一个小的露头,此外,在露天采矿場中还另有若干个断层(图1);它们切割了矿体的其他部分。

多数矿体都稍向南傾斜,在切割矿床南部的断层附近傾角高达35°,这一局部較陡的傾斜可能是由于断层发生时受到拖曳影响所致。矿体的大小和形状,根据地面露头的开采以及金刚石鉆探工程来看已大致弄清楚,但在两个交切斷层以南,因鉆孔稀疏以及对断层揭露不詳,故还不能很好地搞清矿体的輪廓。在已知矿体的下面,可能还有其他矿体存在,但尚未用深鉆来加以証实。

5. 矿物組成及化学成分

一般說,罗斯-亚当斯矿体是由一个矿石品位很高的核心和一个圍繞核心的厚2—20呎的含鈾矿带所組成,核心部分的 U_3O_8 含量大于0.5%,外围的含鈾量則小于0.5%。在矿石品位很高的矿体中也可以看到一些矿石品位較低的小扁豆体和不含矿的岩石。在矿体的結構方面,它和围岩——硷性花崗岩很相似,并且是由許多厚0.1至0.8毫米的含有矿石的細脉以及浸染于硷性花崗岩之中的鈾鉉矿物所組成。几乎所有原生鈾鉉矿物都呈

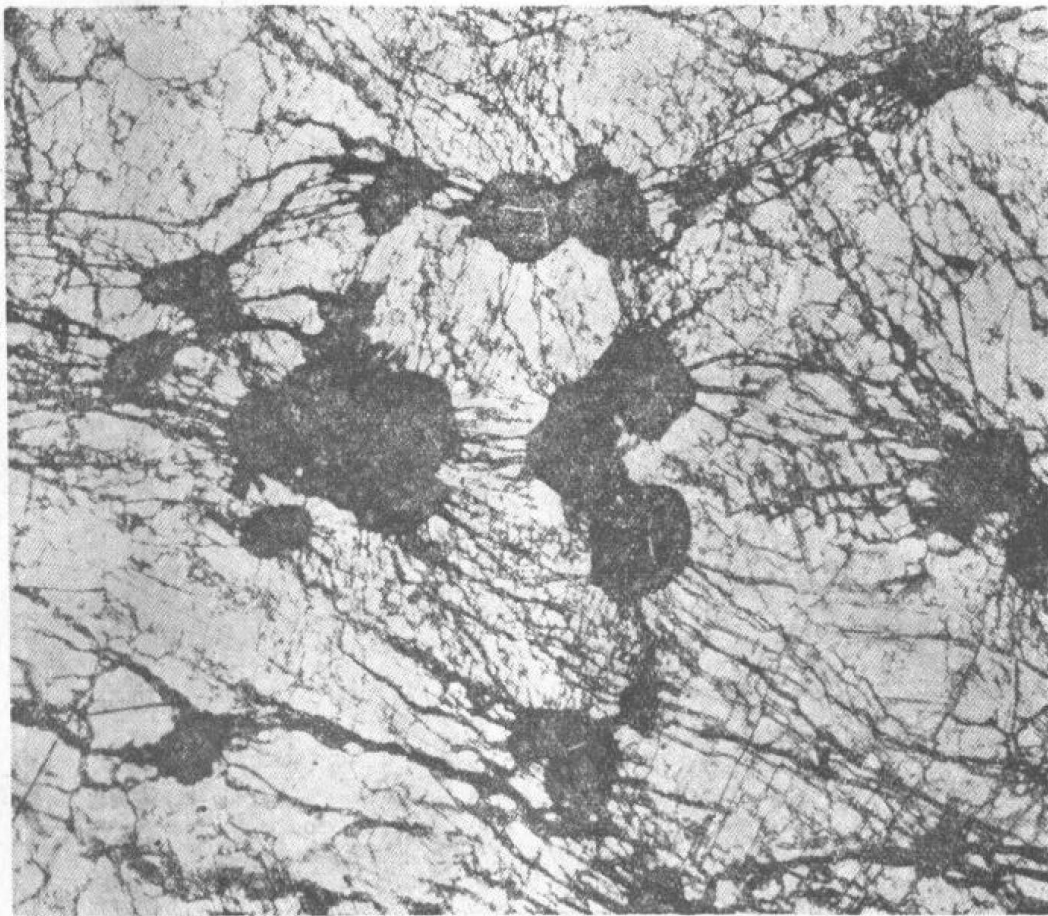


图4 围岩——硷性花崗岩中的鈾鉉矿物
(图中可看到許多在放射性矿物影响下为鐵所色染的細脉)

变质状态。裂隙壁一般均遭到铁染，这种现象是由于有放射性矿物存在所引起的；在有些地方沿长石的解理面形成网状的铁染细脉（图 4）。

图 4 是一显微照相，表示碱性花岗岩中的铀钍矿物以及铁染的细脉。

主要矿石矿物（含铀钍石和含铀方钍石），既产于这些细脉中，也散布在碱性花岗岩的岩体中。许多样品都经加热后进行了 X-光照相分析，证明其中含有含铀钍石和含铀方钍石。此外，也含有微量的柯芬尼特矿。

除铀钍矿物外，细脉中还含有多量赤铁矿，以及少量的方解石、萤石、黄铁矿、方铅矿、石英及绿泥石等。黄铁矿和方铅矿局部富集在靠近交叉断层附近的岩脉中。萤石呈深紫色。图 5 是一典型的含有含铀方钍石（？）的显微照相。

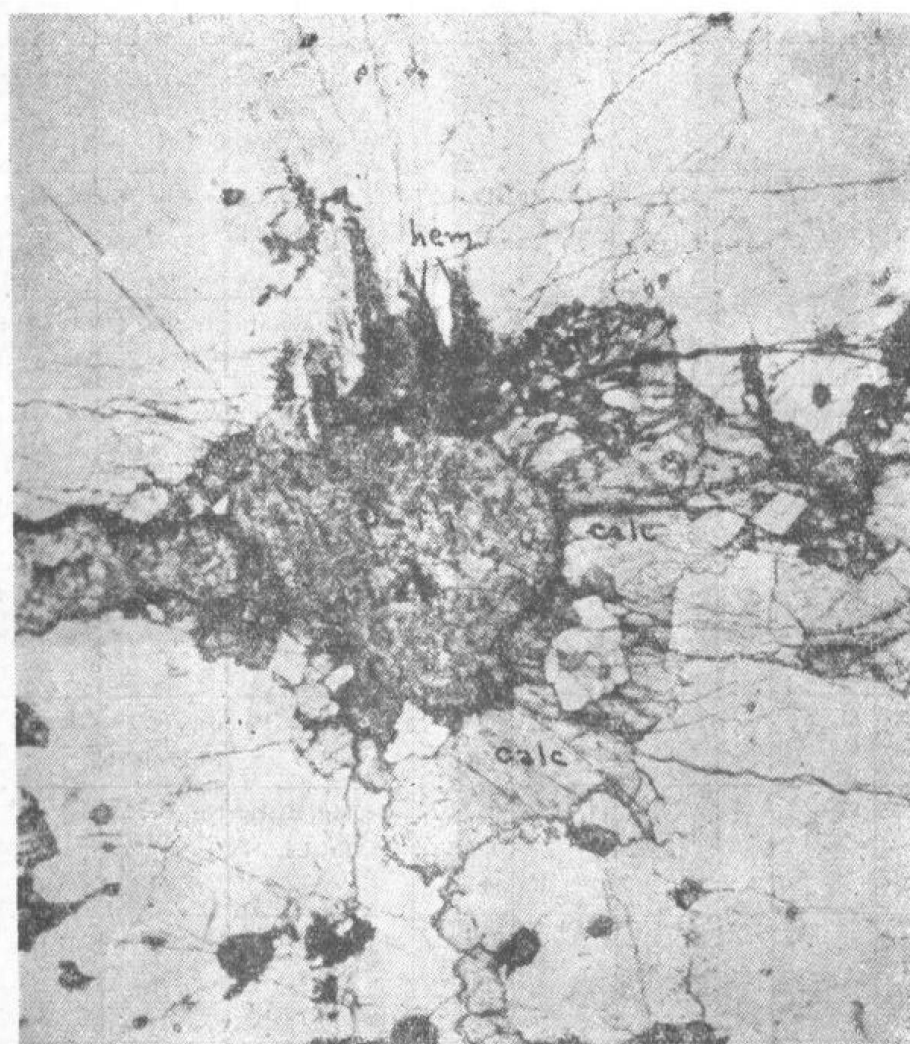


图 5 罗斯-亚当斯矿床中的一个含铀、钍的细脉

U-Th——含铀方钍石（？）；Calc——方解石；hem——赤铁矿；fl.——萤石
(图示在含铀方钍石的影响下为铁所色染的裂隙切穿其他脉石矿物和围岩)

次生含铀矿物仅有少量产在靠近地表的地方，它们包括脂铅铀矿、矽镁铀矿、 β -矽钙铀矿、铁铀云母和水钾镁铀矿等，它们都曾经过 X-光照相分析加以确定。

矿石成分如表 2 所示。表中是 69 个元素的半定量光谱分析和铀钍元素的化学分析结果。

矿石的成分和碱性花岗岩的成分虽有一般的相似之点，但在表 1 和表 2 中，亦可看到

几点显著的区别，其中最重要的是矿石中铀和钍的含量有所增加，而钾的含量则减少了；再者矿石比碱性花岗岩含有较多的铁、铅、铝及较多的锆、钛、镁、钙、锰、砷和少量的铈。

多数矿床都不具有放射性平衡，如使钍的放射性和铀的放射性互相结合，即能造成一

表2 罗斯-亚当斯矿床12种矿石样品的半定量光谱分析及铀钍分析的结果¹⁾

(表中元素次序10, 3, 1, 0.3, 0.1, 0.03, 0.01, 0.003, 0.001——按
样品中含量的近似百分比排列)

样品 No.	百分比			>10	10	3	1	0.3	0.1	0.03	0.01	0.003	0.001
36-2	0.61	0.64	0.74	Si, Al, Fe		Na	Th, U, Zr	Ti Mn, Y	Mg, Ca, Pb, Yb	Ba, Dy, Er, Nd, Sr	As, La, Nb, Sn	Co, Cr, Ga, Be, Cu	
40-1	0.38	0.38	²⁾	Si, Al, Fe		Na	Th, Zr	Ti, U	Y	Mg, Ca, Mn, Dy, Er, La, Nd, Yb	As, Ce, Nb, Pb	Ba, Cr, Ga, Sn	Be, Co, Cu, Sr
40-3	0.53	0.56	²⁾	Si, Al, Fe		Na	Th, Zr	Ti, U	Y	Mg, Ca, Mn, Dy, Er, Pb, Yb	As, Ba, Nb	Cr, Ga, Sn	Be, Co, Cu, Sr
41-1	0.20	0.18	²⁾	Si, Al, Fe		Na	Th	Ti, U, Zr	Mg, Ca, Mn, Nb, Y	As, Ba, Pb	Cr, Ga, Sn	Co, Cu, Sr	
42-2	0.40	0.36	²⁾	Si, Al	Fe	Na	Th	U, Zr	Mg, Ti, Mn, Y	Ca, Dy, Er, Pb	As, Ba, La, Nb, Nd	Co, Ga, Sn	Be, Cr, Cu, Sr
42-4	0.69	0.60	²⁾	Si, Al	Fe	Na	Th, U	Ti, Mn	Mg, Ca, Pb, Y, Zr	Pb, Y, Zr	As, Ba, Dy, Nb, Nd	Co, Ga, Mo, Sn, Yb	Be, Cr, Cu, Sr
43-1	1.6	1.8	2.20	Si, Al	Fe	Na, Th, U		Zr	Ca, Ti, Pb, Y	Mg, Mn, Ba, Dy, Er, Nd, Yb	As, Cu, La	Co, Ga, Mo, Sn, Sr	Be, Cr
43-3	0.63	0.55	²⁾	Si, Al	Fe	Na	Th	U, Zr	Ti	Mg, Ca, Mn, Pb, Y	Ba, Dy, La, Nb, Nd, Yb	Ga, Sn	Be, Co, Cr, Sr
44	4.4	3.2	5.66	Si		Al, Fe, Th, U, Na		Ca, Ti, Pb	Mn, Ce, Y, Zr	Mg, Ba, Dy, Er, La, Nd	Nb, Sr, Yb	Ga, V	Cr, Cu
45	2.3	2.8	2.32	Si		Al, Fe, Na, Th, U		Ti, Pb, Zr	Ca, Mn, Y	Mg, Ba, Dy, Er, Sr	Nb, Yb	Cu, Ga	Cr, V
46	1.6	1.3	1.62	Si	Al, Fe	Na, Th	Mg, U	Ca, Mn, Pb, Y	Ti, Ba, Y	Dy, Er, Sr	As, Yb	Co, Ga, Mo, Sn	Be, Cr, Cu, V
50	3.1	0.6	3.34	Si		Al, Fe, Na, Th	U	Pb, Zr	Mg, Ca, Ti, Mn, Y	Ba, Dy, Er	Nb, Sr, Yb	Ga	Be, Cr, Cu, V

1) 光谱分析由美国地质调查局的约瑟夫·哈夫蒂所作，放射性分析由美国地质调查局的B. A. 麦考尔所作。铀、钍化学分析由美国地质调查局的罗斯福·莫尔所作，铀、钍化学分析由美国地质调查局的艾尔瑞·堪贝尔所作，钍的X-射线萤光分析由美国地质调查局的伊沙德·阿德勒所作。

2) 钍未经化学方法或X-射线萤光方法的分析。

种类似的平衡，同时对鈾进行多次化学分析，其結果都和同一样品的鈾的定量測定大致相符（表 2），尽管有大量釔的存在。在許多矿床中，釔常略多于鈾，从已知矿体最南部的钻孔岩心的分析得知，釔与鈾的比例可达 7:1。

四、成因推論

罗斯-亚当斯矿床的形成可能有两个过程，即晚期伴生的鈾釔石和含鈾方釔石在硷性花崗岩內的局部富集，然后繼之而来的是在矿体附近所发生的含鈾、釔細脉的形成。

至于含鈾、釔副矿物所以会局部富集的原因，目前还不清楚。在含有矿石的硷性花崗岩与未經矿化部分的硷性花崗岩之間，除鈾釔矿物的含量以及含有的許多細脉和缺少鉀元素之外，两者的性質是相同的。矿床中未見到有利于鈾釔矿物富集的构造条件。

上面所談到的彼此交叉的断层可能起着通道作用；許多含矿細脉中的物质就是借助这些通道运移的。可以設想这些断层至少經歷了两个活动期，并且是形成含矿細脉的热液的通道。后来的平移断层使矿体发生錯动。关于这些断层可能是矿液通道的推断得到下列事实的支持：(1)在接近断层的地方，矿体的寬度最大(图 3)；(2)沿断层有最薄的被压碎的矿石和脉石矿物分布；(3)沿着附近类似的断层形成了含有鈾釔矿物、萤石、赤铁矿和稀土矿物的小矿体。

五、結論

这一小型矿床无论在形状上，或者在矿物組成上都代表一种特殊类型的鈾-釔矿床。它的形成大概与硷性花崗岩中鈾、釔及其他稀有元素和鈉的后期分异作用有关，先是含鈾-釔的副矿物局部富集，后来形成許多含矿的細脉。

(譯自英文預印本)

参考文献

- [1] Buddington, A. F. and Chapin, Theodore, Geology and mineral deposits of Southeastern Alaska: U. S. Geological Survey Bulletin 800, (1929).

格陵兰西南尤利阿訥霍普地区伊利莫塞克一带的 含鈾霞石正长岩及与其有关的岩石*

J. 邦达姆 H. 索林逊**

早在一百多年以前，人們就已經知道格陵兰西南尤利阿訥霍普(Julianeaab)地区伊利莫塞克(Llimaussaq)一带的霞石正长岩中含有大量的稀有矿物。在本世紀的初叶，N. V. 犹辛(Ussing)曾对此区作过調查研究^[13]。最近，根据格陵兰地質勘探局的建議，又对全区进行了复查。

一、地質概況

伊利莫塞克岩体是格陵兰西南很多碱性侵入岩体之一。它位于一个以前寒武紀花崗岩为基底的地盤中。复盖在花崗岩上面的砂岩和火成岩，可能也属于前寒武紀，是所謂哥达建造(Gardar formation)的殘余体^[14]。

伊利莫塞克岩体伸入整个岩层中，局部为火成岩所复盖。岩体与围岩的接触关系是逐渐过渡的。侵入体出露的面积約为 70 平方公里(图 1)。犹辛^[13]曾把岩体中的岩石分为“較老的”非层状岩系和“較新的”层状岩系。前者是由碱性輝長岩、碱性正長岩及碱性花崗岩組成的，后者則由鈉質火成岩类的超碱性霞石正长岩所組成^[13, p341]。

从岩体中的放射性成矿現象的角度来看，值得注意的是岩体中的两种鈉質火成岩，即方鈉霞石正长岩和异性霞石正长岩。顆粒很粗的方鈉霞石正长岩产于岩体上部的中央，是一种富含异性石的方鈉流霞正长岩。层状岩系中最年青的岩石是异性霞石正长岩，这是一种中粒至細粒并具有明显的暗色矿物条带的霞石正长岩。它通常具有原始的层理，并位于岩体的最下部，但有时也呈岩牆、岩床和岩脉出現于方鈉霞石正长岩中。其中常常含有大量的异性石。犹辛認為該岩体是一个岩基，而魏格曼(Wegmann) 則認為超碱性岩具有交代成因^[14]。本文作者之一的索林逊曾对这些假說进行过研究^[11]。

二、含鈾和含釷的岩石

伊利莫塞克岩体中的超碱性岩通常比它的围岩含有稍高的放射性。薄片的自动放射摄影表明，大部分的放射性是由微具放射性的异性石引起的。放射性最強的异性石发现于异性正长岩中。表 1 表示侵入体中超碱性岩內的某些矿物的 α 放射性。

放射性岩石的产状可以分为三种主要类型：

* Uraniferous Nepheline Syenites and Related Rocks in the Llimaussag Area, Julianehaab District, South West Greenland. (第 2 卷, 第 1508 号报告, 丹麦)。

** J. Bondam (格陵兰地質勘探局)。H. Sørensen (哥本哈根大学)。

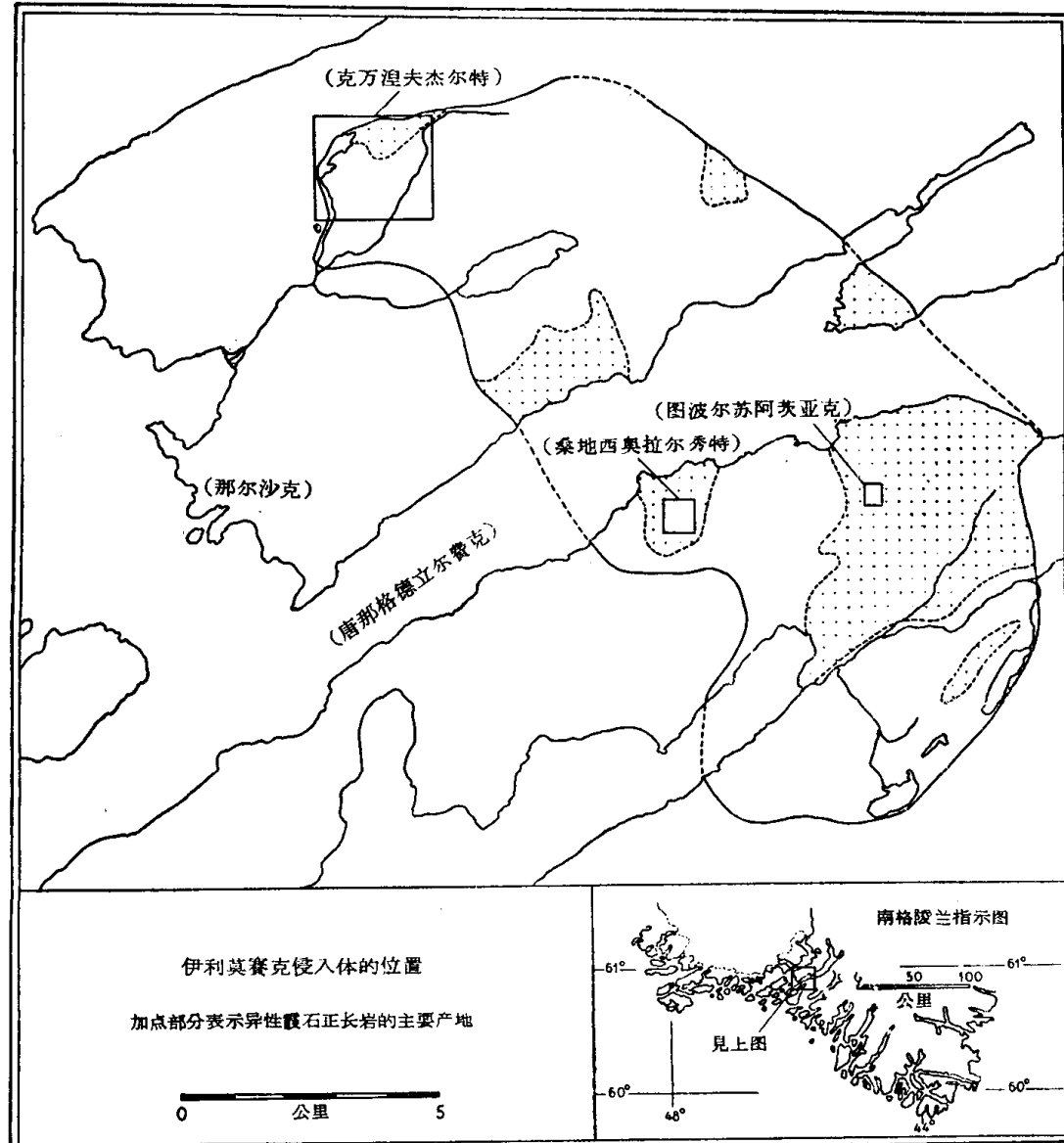


图 1 伊利莫塞克侵入体的位置图
(图中加点部分示异性霞石正长岩的主要产地)

- 含菱形綠柱石 (Steenstrupine)¹⁾ 独居石和某些弱放射性矿物的异性霞石正长岩，这种岩石在岩体的許多部分都有分布。
- 异性霞石正长岩中的重結晶方鈉霞石正长岩包裹体含有大量的菱形綠柱石。
- 重結晶的变形方鈉霞石正长岩带內，有的地方富集有发育良好的菱形綠柱石晶体。

1. 异性霞石正长岩

犹辛曾經描述了两种主要类型的异性霞石正长岩：即綠色富含霓石的异性霞石正长岩和黑色富含鈉鈣閃石的异性霞石正长岩。异性霞石正长岩的主体就属于第二类型。另外也存在大量黑色异性霞石正长岩的变种。

1) 菱形綠柱石是一种呈扁平的三方晶系晶体的矿物。它是一种硅酸盐，其中含有 Th 2—7%， U 0.1—0.3%， $(Nb, Ta)_2O_5$ 1—4%，稀土元素氧化物約 30%， P_2O_5 4—8%， Na_2O 10%， SiO_2 25%^[1]。

矿物几乎都发生了变质(metamict)，只在少数地区发现未变质的具有弱放射性的結晶。加热后，变质的菱形綠柱石即过渡为含有独居石状矿物和 $(Ce, Th)O_2$ 的結晶質混合物^[8, 10]。

表1 超碱性侵入岩内某些矿物的放射性

矿 物	α 质点数/(平方厘米/每小时曝射)	
	未 经 变 化 的	已 经 变 化 的
菱形绿柱石1	600—6000	2000—20000
菱形绿柱石2	1000—7600	2000—35000
异性石	60—600	300—4000
独居石		0—19000

菱形绿柱石1指异性正长岩中常见的矿物。

菱形绿柱石2指矿脉中常见的微具放射性的矿物。

菱形绿柱石常常处于已经遭受蚀变的状态。

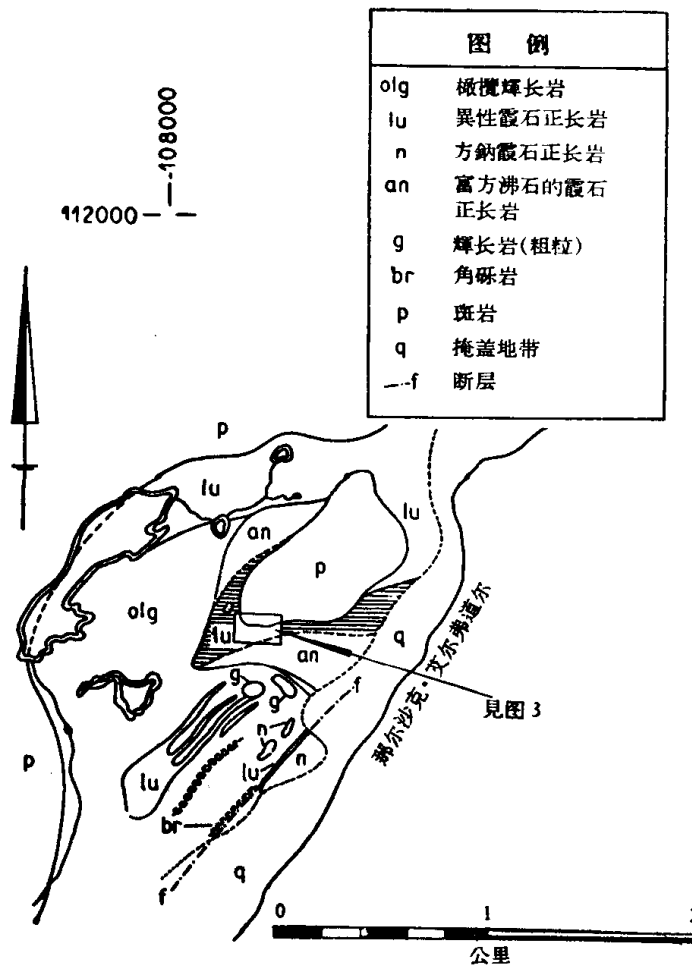
未发生变化的异性霞石正长岩的主要造岩矿物为霞石、微斜长石、钠长石、钙钠闪石、霓石及异性石。

异性霞石正长岩常常发生热液变化，在这种情况下，浅色矿物已经为方沸石和钠沸石所交代，钙钠闪石则为锥辉石所交代，异性石则是经过各种途径而发生变化的。

在变化的第一阶段，异性石为钠长石所交代^[12]。异性石的假晶可以由以下这些次生矿物中的一种矿物或者全部矿物所组成，这些次生矿物是方沸石、霓石、锥辉石、无色云母、独居石、钠钾磷灰石、柱状叶石及色素物质。菱形绿柱石为不规则的粒状，与所谓的假晶相伴生^[2]。在克万涅夫杰尔特（Kvanefjeld）地区（见图2），假晶中含有很细的、等粒状的、黄绿色的各向同性的、强放射性的矿物颗粒。它可能是方钠石。在某些地区，菱形绿柱石是异性霞石正长岩的重要组分，它们呈小的自形晶体或呈大的嵌晶。

异性霞石正长岩通常是杂岩中放射性最强的岩石。这种岩石平均含有0.01—0.02%的U，含Th量则比含U量大3—4倍。异性霞石正长岩分布的面积将近12平方公里。霞石正长岩的岩系的总厚度，根据犹辛的估计，至少有600米^[13]。岩系的下限未出露，因此异性霞石正长岩在伊利莫塞克岩体中必占有相当大的体积。

在某些地方的霞石正长岩中，曾见到放射性元素的局部富集现象，其中三处将作为放射性最强的霞石正长岩的实例描述如下：



象，其中三处将作为放射性最强的霞石正长岩的实例描述如下：